

SEGA SEN

TSC

SEGA SEN

SEGA SEN

SEGA SEN

① subependymal giant cell astrocytoma (SEGA) ② cortical tuber ③ subependymal nodule (SEN) ④ 1^{1)③)}

1

SEGA

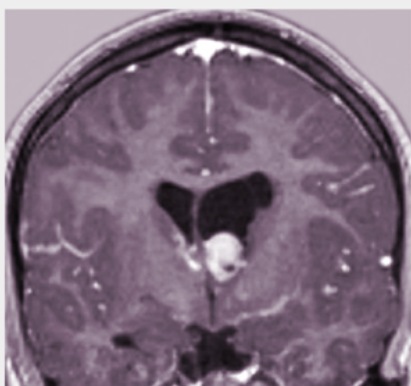
SEN

SEGA
[subependymal giant cell astrocytoma]

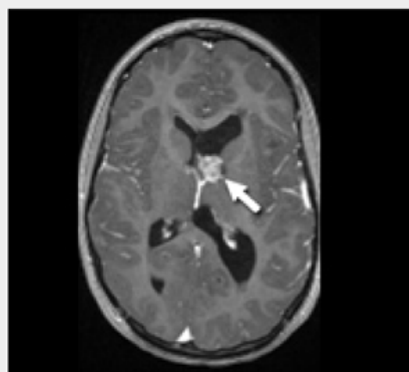
5-20

- WHO 1級
- 5-20
- 1

Image



transverse



coronal



ノバルティス ファーマ社内資料
※異なる症例の写真です

000

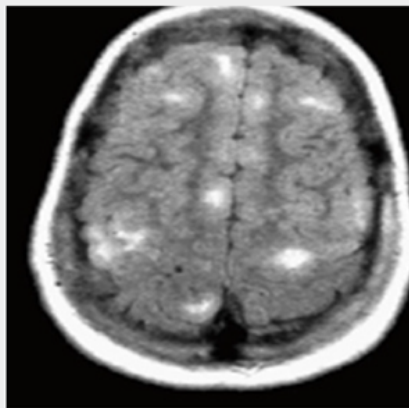
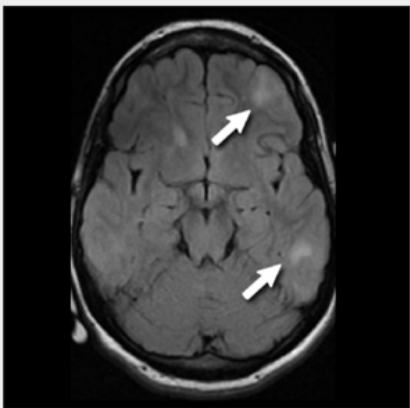
00

000000
[cortical tuber]

95-100%

- 0000000000
0000000000
06000000000
00000000000
00000000000
- 00000000000
0026000000
MRI0000000
000
- 00000000000
000000000
TSC0000000
00000000000

Image



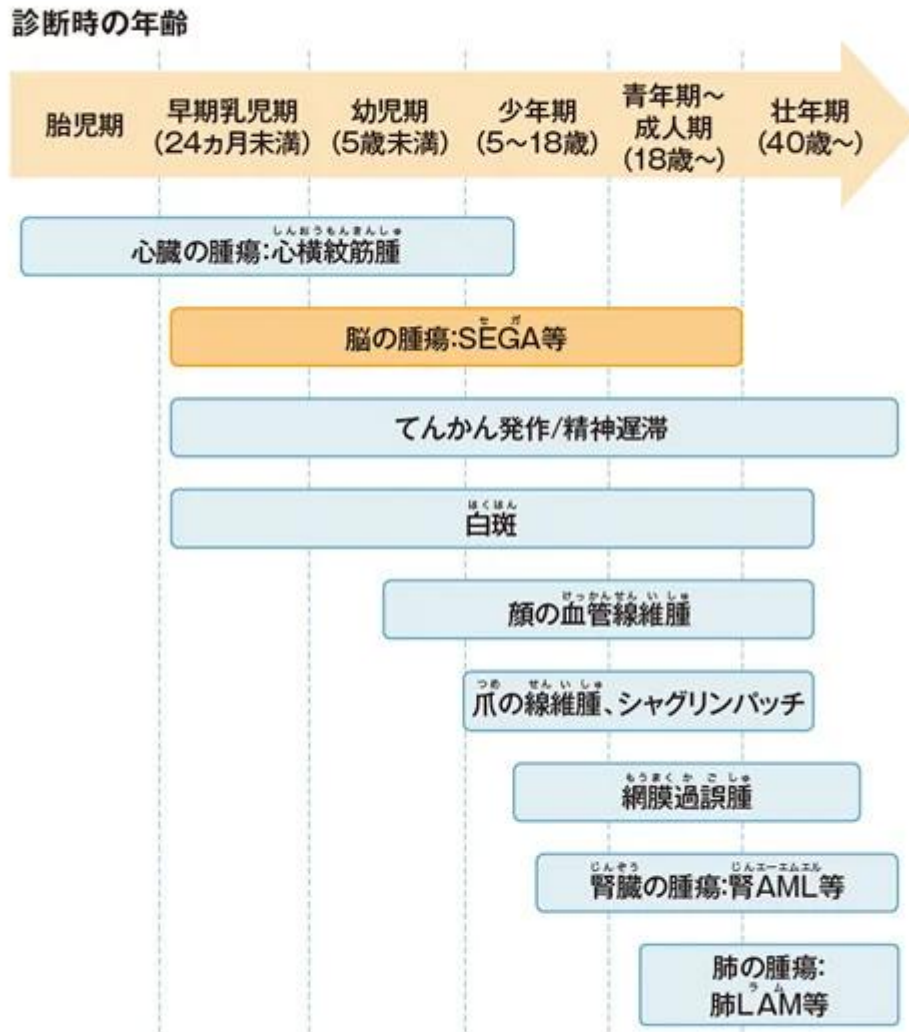
ノバルティス ファーマ社内資料
※異なる症例の写真です。

SEN
[subependymal nodule]

95-98%

- 0000000000
00000000000
00000000000
00000000000
0000000
- 00000000000
00000000000
00000000000
- 00000000000
00000000000
0000000

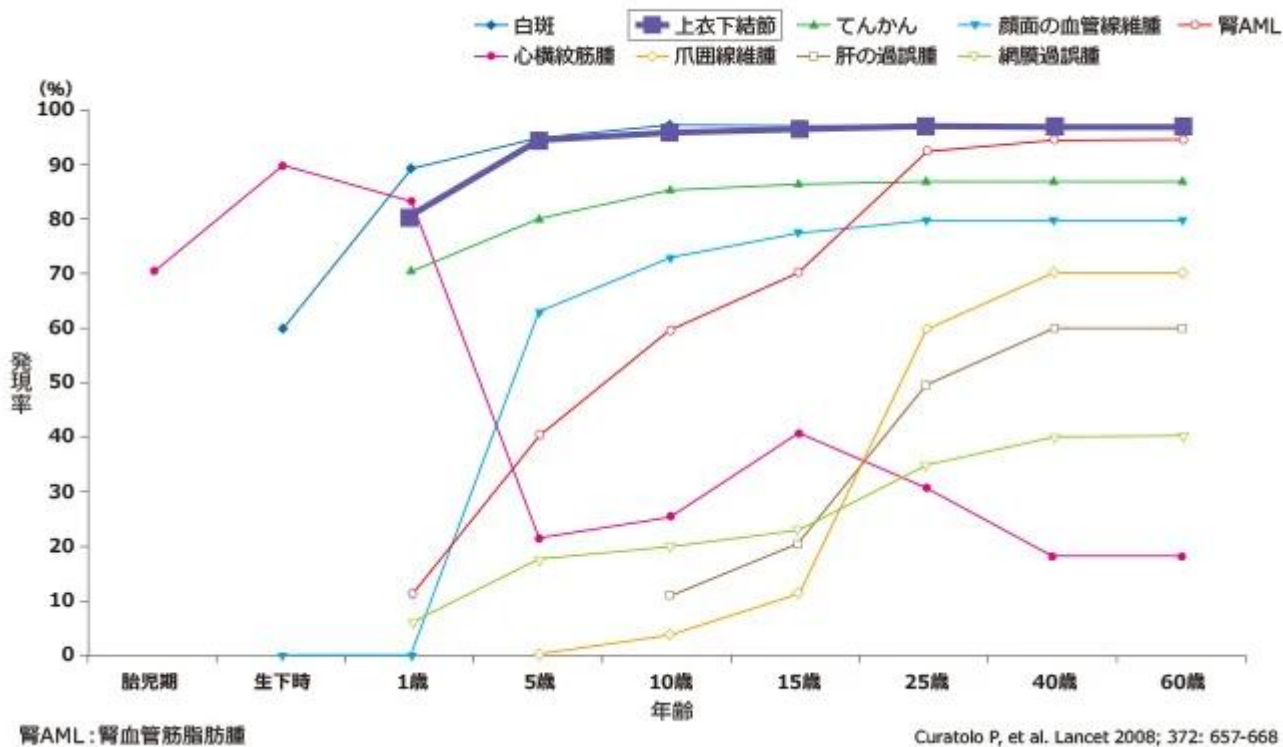
図1 SEGAの発現時期



大野耕作, 平山義人, 松井氏豊次郎, 編, 知的障害者の健康管理マニュアル, 東京: 診断と治療社, 2007; 83.
全田 眞理, 他, 日皮会誌 2018; 128: 1-16. より作図

Image

図2 年齢期ごとの上衣下結節 (SEN) の発現率 (海外データ)

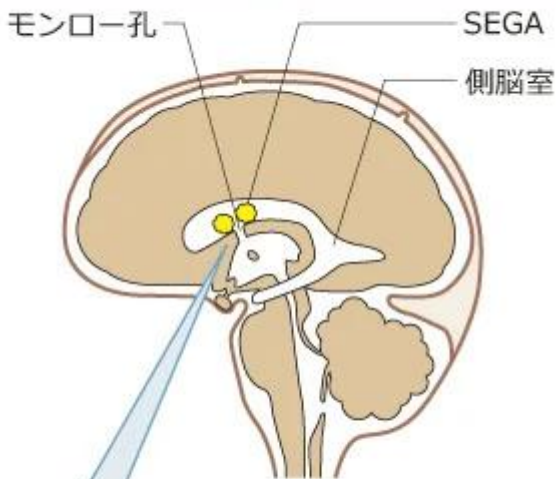


SEGA SEN

166 (6) SEGA 2 (7-10) $p < 0.0001$ χ^2
 SEN SEGA 77 SEGA
 SEN 3

Image

図4 SEGAによる側脳室閉塞で発現する水頭症



SEGAによりモンロー孔が閉塞し、脳脊髄液の流れが妨げられることで水頭症をきたす。

Image

図5 脳腫瘍の死亡年齢



SEGA: 上衣下巨細胞性星細胞腫、肺LAM: 肺リンパ脈管筋腫症

Umeoka S, et al. Radiographics 2008; 28: e32より作図

② cortical tuber

Tuberous Sclerosis 1cm 5cm

- 15) Berhouma M. World J Pediatr 2010; 6: 103-110
- 16) Northrup H, et al. Pediatr Neurol. 2013 Oct; 49(4): 243-254.
- 17) 〇〇〇〇. 〇〇〇〇〇 2011; 33: 183-191
- 18) 〇〇〇〇, 〇. 〇〇〇〇 2008; 118: 1667-1676

〇〇〇〇〇〇〇〇〇〇〇〇〇〇〇〇〇〇

[〇〇〇〇〇〇](#)

Source URL: https://www.pro.novartis.com/jp-ja/products/afinitor/tsc/symptom_03